

УДК 658.26:621.577

РАДЧЕНКО А.Н., Национальный университет кораблестроения им. адмирала Макарова, г. Николаев
СТАХЕЛЬ А.А., Щецинский политехнический университет, г. Щецин

ОЦЕНКА ЭФФЕКТИВНОСТИ ОХЛАЖДЕНИЯ ЭЛЕКТРОГЕНЕРАТОРОВ ХЛАДОНОВЫМИ ЭЖЕКТОРНЫМИ ХОЛОДИЛЬНЫМИ МАШИНАМИ

Проаналізовано ефективність охолодження електрогенераторів ежекторними холодильними машинами, що використовують теплоту вентиляційного повітря після електрогенераторів і наддувного повітря дизельгенераторів для зниження температури вентиляційного повітря на вході електрогенераторів.

Effectiveness of cooling of alternators by ejector refrigeration systems utilizing heat of ventilating air after alternators and scavenge air of diesel generators to lower temperature of ventilating air at the inlet of alternators has been analyzed.

1. Анализ проблемы и постановка цели исследования

В электрогенераторах часть подводимой электрической энергии теряется в виде теплоты. Значительный нагрев обмоток и опасность термического разрушения их изоляции снижают КПД и ограничивают мощность электрогенераторов. С целью обеспечения стабильной и безопасной работы электрогенераторов необходимо обеспечить отвод выделяемой теплоты, для чего предусматривают их охлаждение. Наибольшее распространение получили системы охлаждения с принудительной циркуляцией наружного воздуха, однако с повышением его температуры охлаждающая способность таких систем снижается. Повысить эффективность систем вентиляции можно с помощью теплоиспользующих холодильных машин (ТХМ), которые использовали бы теплоту, выделяемую электрогенераторами и отводимую от них охлаждающим воздухом, для производства холода, который в свою очередь – для снижения температуры воздуха, подаваемого на охлаждение. В качестве рабочего тела в ТХМ используют низкокипящие рабочие тела – хладоны, что позволяет, с одной стороны, утилизировать теплоту сравнительно низкого температурного уровня, а с другой – снижать температуру воздуха, подаваемого на

вентиляцию электрогенераторов, до температуры, которую невозможно достичнуть в случае применения в качестве хладоносителя воды. Отвод теплоты от воздуха осуществляется в процессе кипения хладона.

Наибольшее распространение получили ТХМ абсорбционного типа. Известны результаты исследований применения абсорбционных ТХМ, использующих теплоту уходящих газов газотурбинных двигателей (ГТД) для охлаждения воздуха систем комфорtnого кондиционирования, а также предложения по использованию в них теплоты наддувочного воздуха ДВС [1-5]. Однако абсорбционным холодильным машинам свойственны повышенные габариты (соответственно и аэродинамическое сопротивление), из-за чего целесообразность их применения для охлаждения компактных электрогенераторов весьма проблематична. Конструктивной простотой и надежностью в эксплуатации характеризуются ТХМ струйного – эжекторного типа, в которых эжектор выполняет функцию компрессора [6-8]. Использование эжекторных холодильных машин (ЭХМ) не приведет к заметному усложнению системы охлаждения электрогенераторов. Однако ЭХМ отличаются невысокими значениями тепловых коэффициентов ζ , представляющих собой отношение количества

холода к количеству затраченной на его производство теплоты и зависящих в свою очередь от температуры источника сбросной теплоты – нагретого в электрогенераторе воздуха. При относительно невысоких температурах воздуха после электрогенераторов произведенного в ЭХМ холода может оказаться недостаточно для снижения температуры наружного воздуха, подаваемого на их вентиляцию. Поэтому необходимо будет задействовать и другие источники сбросной теплоты электрогенераторов с более высокой температурой.

Целью исследования является оценка эффективности охлаждения электрогенераторов эжекторными холодильными машинами и определение условий, при которых их применение целесообразно.

2. Анализ результатов исследования

Теплоиспользующая система охлаждения электрогенератора на базе эжекторной холодильной машины схематично представлена на рис. 1. Теплоту воздуха, нагретого в процессе охлаждения электрогенератора, используют для выработки холода, который в свою очередь – для снижения температуры наружного воздуха, подаваемого на вход электрогенератора. Эжекторная холодильная машина состоит из силового

и холодильного контуров. Силовой контур служит для получения паров хладона высокого давления, энергию которых используют в эжекторе для поджатия паров хладона низкого давления, всасываемых из испарителя хладоновоздухоохладителя (И-ВО) холодильного контура, до давления в конденсаторе. Жидкий хладон после конденсатора разделяют на два потока: первый – подают насосом в генератор, где жидкий хладон нагревают и испаряют при высоком давлении за счет теплоты, отводимой от нагретого воздуха, отводимого от электрогенератора, а второй – расширяют (дресселируют) в дроссельном клапане и направляют в испаритель-воздухоохладитель, в котором жидкий хладон испаряют при низком давлении и соответственно температуре, отводя теплоту от наружного воздуха на входе электрогенератора. Хладоновые пары всасываются из испарителя-воздухоохладителя эжектором и подают снова в конденсатор. Таким образом, эжектор совмещает функции детандера силового контура (расширение хладоновых паров происходит в его сопле) и компрессора холодильного контура (повышение давления хладоновых паров, всасываемых из испарителя-воздухоохладителя, происходит в камере смешения и диффузоре).

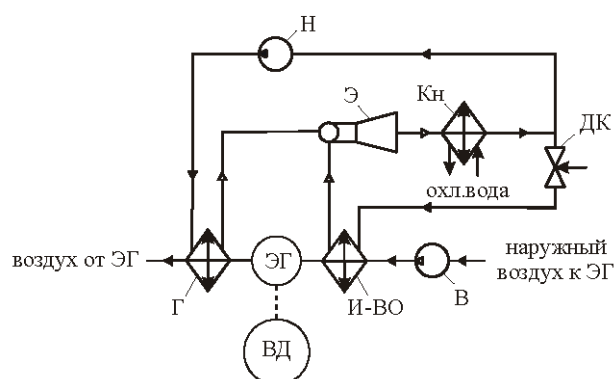


Рис. 1. Схема системы охлаждения электрогенератора на базе эжекторной холодильной машины:

ЭГ – электрогенератор; ВД – вспомогательный дизель; Г – генератор хладоновых паров; И-ВО – испаритель-воздухоохладитель; Э – эжектор; Кн – конденсатор; Н – хладоновый насос; ДК – дроссельный клапан; В – вентилятор

Следует отметить, что в генераторе ЭХМ происходит сначала нагрев жидкого хладона, поступающего из конденсатора, от температуры конденсации t_k до температуры t_r кипения хладона при высоком давлении, а затем испарение жидкого хладона при температуре t_r и в некоторых случаях перегрев образовавшегося пара. Соответственно теплообменная поверхность генератора разделяется на экономайзерную (нагревательную) и испарительную секции, а в случае перегрева пара – еще и пароперегревательную.

Как отмечалось, эффективность ЭХМ

характеризуется тепловым коэффициентом $\zeta = Q_0 / Q_r$, представляющим собой отношение ходо-допроизводительности Q_0 (количества теплоты, отводимой в испарителе-воздухоохладителе ЭХМ от наружного воздуха, подаваемого на охлаждение электрогенератора, к хладону, кипящему при низких давлениях и соответственно температуре) к количеству теплоты Q_r , отводимой в генераторе ЭХМ от воздуха, нагретого в электрогенераторе, к хладону, кипящему при высоких давлениях и температуре.

На рис. 2 представлены зависимости теплового коэффициента ζ эжекторной ТХМ от

температуры конденсации хладона t_k при его температурах кипения в испарителе-воздухоохладителе $t_0 = 0$ и 10°C и в генераторе $t_r = 70^\circ\text{C}$. В качестве хладона использован озонобезо-

пасный хладон R142B.

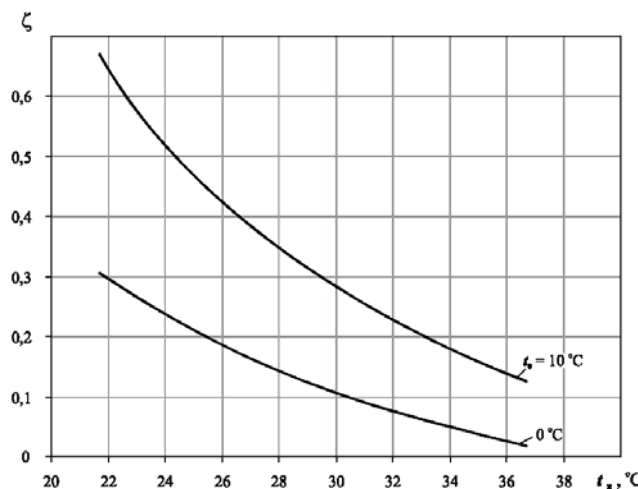


Рис. 2. Тепловые коэффициенты ЭХМ ζ в зависимости от температуры конденсации t_k хладона R142B при температуре кипения в генераторе $t_r = 70^\circ\text{C}$ и в И-ВО $t_0 = 0$ и 10°C

Как видно, тепловой коэффициент ζ с повышением t_k существенно снижается, причем при большей температуре кипения t_0 это снижение происходит более резко. Это говорит о том, что, во-первых, в случае водяного охлаждения конденсатора (при низких t_k) тепловая эффективность ЭХМ гораздо выше, чем при его воздушном охлаждении (при высоких t_k), и, во-вторых, при более низкой температуре кипения в испарителе-воздухоохладителе t_0 влияние температуры конденсации t_k на ζ оказывается слабее. С повышением температуры кипения в испарителе-воздухоохладителе t_0 коэффициент ζ увеличивается, причем это увеличение особенно значительное при низких t_k , что свидетельствует об эффективности применения ЭХМ в случае водяного охлаждения конденсатора и при повышенной температуре наружного воздуха, подаваемого на вентиляцию электрогенератора.

Результаты анализа эффективности применения ЭХМ для охлаждения воздуха на входе электрогенератора приведены на рис. 3 в виде зависимости тепловых коэффициентов ЭХМ ζ , удельных (отнесенных к единичному расходу воздуха) тепловых нагрузок на генератор ЭХМ \bar{q}_r (удельного количества теплоты, отведенной от нагретого в электрогенераторе воздуха) и испаритель-воздухоохладитель \bar{q}_0 (удельного количества теплоты, отведенной от воздуха на входе в электрогенератор, т.е. единичной холодопроизводительности ЭХМ), и снижения температуры Δt_b воздуха на входе в электрогенератор от температуры кипения НРТ в генераторе t_r при температуре кипения НРТ в испарителе $t_0 = 0^\circ\text{C}$; конденсации $t_k = 35^\circ\text{C}$; нагретого воздуха перед генератором ЭХМ (после электрогенератора) $t_{b1} = 100^\circ\text{C}$. Здесь же

нанесены значения температуры t_{b2} воздуха после генератора ЭХМ, т.е. воздуха, выбрасываемого в атмосферу. При этом температура воздуха после испарительной секции генератора ЭХМ, расположенной первой по ходу нагретого в электрогенераторе воздуха, принималась на 10°C выше, чем температура кипения хладона в генераторе t_r .

Как видно, с повышением t_r от 70 до 85°C удельная тепловая нагрузка на генератор \bar{q}_r снижается, а тепловой коэффициент ζ увеличивается, что приводит сначала к некоторому возрастанию единичной холодопроизводительности ЭХМ \bar{q}_0 , а потом ее снижению. В первом случае превалирует влияние на \bar{q}_0 возрастания ζ , а во втором – снижения \bar{q}_r . Поскольку уменьшение температуры наружного воздуха на входе в электрогенератор Δt_b пропорционально единичной холодопроизводительности ЭХМ \bar{q}_0 , то характеры изменения \bar{q}_0 и разности температур воздуха Δt_b идентичны. Как видно, снижение температуры воздуха на входе электрогенератора несущественное: $\Delta t_b \approx 2^\circ\text{C}$, что свидетельствует о низкой эффективности охлаждения воздуха в ЭХМ. Причина – недостаточно высокая температура нагретого воздуха после электрогенератора ($t_{b1} = 100^\circ\text{C}$), используемого в качестве источника тепловой энергии для ЭХМ.

Увеличить единичную холодопроизводительность ЭХМ \bar{q}_0 и, соответственно, глубину охлаждения воздуха на входе в электрогенератор Δt_b можно, повышая тепловой потенциал источника теплоты, т.е. температуру t_{b1} . С этой целью при недостаточно высокой температуре воздуха t_{b1} после электрогенератора (на входе в генератор ЭХМ) дополнительно можно использовать другие вторичные энергоресурсы,

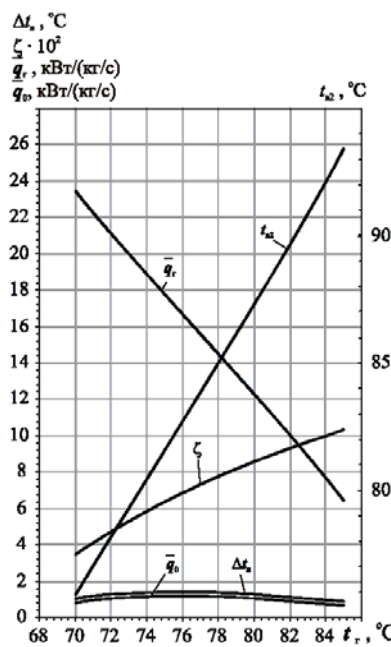


Рис. 3. Зависимости тепловых коэффициентов ЭХМ ζ , удельных тепловой нагрузки на генератор ЭХМ \bar{q}_r и холодопроизводительности ЭХМ \bar{q}_0 , снижения температуры Δt_b наружного воздуха в ЭХМ, а также температура t_{b2} воздуха после генератора ЭХМ при температуре нагрева в электрогенераторе воздуха перед генератором ЭХМ $t_{b1} = 100^{\circ}\text{C}$ от температуры кипения хладона в генераторе t_r при температуре кипения хладона в испарителе-воздухоохладителе $t_k = 35^{\circ}\text{C}$; конденсации $t_0 = 0^{\circ}\text{C}$; испарение хладона в генераторе $t_r = 100^{\circ}\text{C}$.

например выпускные газы после дизельгенератора с температурой свыше 350°C , а также наддувочного дизельгенератора.

Рассмотрим как один из вариантов в качестве дополнительного источника теплоты наддувочный воздух дизельгенератора. При этом генератор ЭХМ выполняют в виде двух секций – испарительной, в которой происходит испарение жидкого хладона при высоких давлениях и соответственно температуре, и экономайзерной, в которой имеет место нагрев жидкого хладона от температуры конденсации до температуры кипения в испарительной секции. Испарительную секцию генератора устанавливают на линии наддувочного воздуха дизельгенератора, а экономайзерную – после электрогенератора, отводя в ней теплоту от воздуха, нагреветого в электрогенераторе. В зависимости от степени наддува турбокомпрессора температура наддувочного воздуха может составлять $t_{b1} = 180\dots 250^{\circ}\text{C}$ и выше.

На рис. 4 приведены удельные тепловая нагрузка на генератор \bar{q}_r и холодопроизводительность \bar{q}_0 , тепловые коэффициенты ЭХМ ζ , снижение температуры Δt_b охлаждающего электрогенератор воздуха в испарителе-воздухоохладителе, температура t_{b2} воздуха на выходе экономайзерной секции генератора ЭХМ, установленной за электрогенератором, в зависимости от температуры кипения хладона в генераторе t_r при температуре кипения хладона в

испарителе-воздухоохладителе $t_0 = 0^{\circ}\text{C}$; конденсации $t_k = 35^{\circ}\text{C}$ и сжатого воздуха (наддувочного воздуха дизельгенератора) на входе испарительной секции генератора $t_{\text{св1}} = 180^{\circ}\text{C}$ (рис. 4, *a*) и 250°C (рис. 4, *б*). Температура сжатого воздуха после отвода от него теплоты на испарение хладона в испарительной секции генератора (при температуре кипения t_r) принималась $t_{\text{св,и2}} = t_r + 20^{\circ}\text{C}$. При температуре воздуха после электрогенератора, недостаточно высокой для нагрева жидкого хладона (до температуры насыщения t_r) в экономайзерной секции генератора ЭХМ ($t_{b1} < t_r$), окончательный нагрев хладона до температуры t_r производят в испарительной секции генератора, поскольку температура сжатого воздуха после отвода от него теплоты на испарение хладона $t_{\text{св,и2}}$ всегда выше t_r . Параметры, приведенные на рис. 4 (как и на рис. 3) получены из условия, что расходы наружного воздуха на входе электрогенератора и наддувочного воздуха дизельгенератора одинаковы. В случае их отличия указанные на рис. 4 величины изменятся согласно соотношению расходов. Так, если расход наддувочного воздуха дизельгенератора больше расхода наружного воздуха, охлаждающего электрогенератор, то перепад температур Δt_b возрастет в соответствии с их отношением, скорректированным с учетом его отличия от соотношения удельных тепловых нагрузок на испарительную и экономайзерную секции генератора ЭХМ.

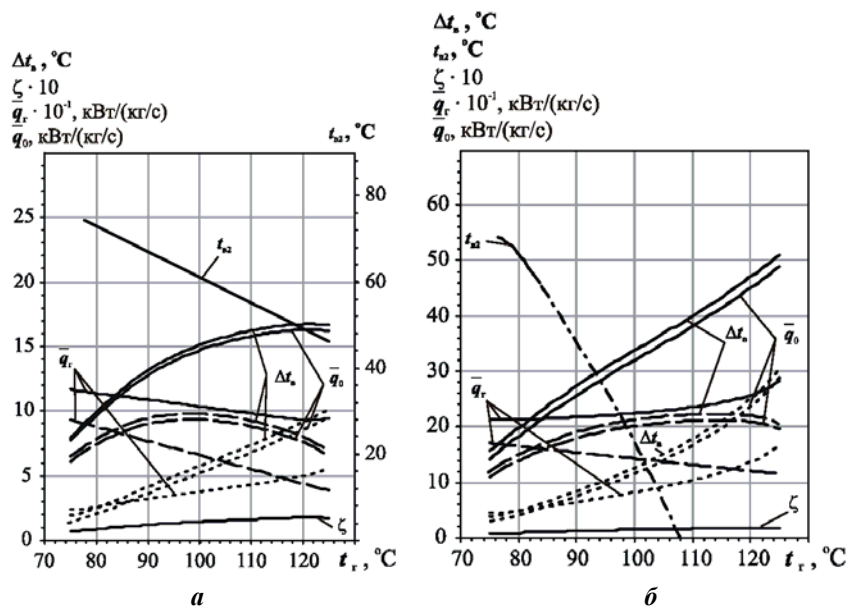


Рис. 4. Залежності теплових коефіцієнтів ЭХМ ζ , уделних теплової нагрузки на генератор ЭХМ \bar{q}_r и холодопроизводительности ЭХМ \bar{q}_0 , снижения температуры Δt_b наружного воздуха на входе в электрогенератор (в испарителе-воздухоохладителе ЭХМ) и температуры t_{b2} воздуха после генератора ЭХМ при температуре нагретого в электрогенераторе воздуха (перед генератором ЭХМ) $t_{b1} = 100^\circ\text{C}$ от температуры кипения хладона в генераторе t_r при температуре кипения хладона в испарителе-воздухоохладителе $t_0 = 0^\circ\text{C}$; конденсации $t_k = 35^\circ\text{C}$ и надувочного воздуха дизельгенератора – на входе испарительной секции генератора ЭХМ t_{cv1} : а – $t_{cv1} = 180^\circ\text{C}$; $b - t_{cv1} = 250^\circ\text{C}$; — — за счет отвода теплоты генератором в целом \bar{q}_0, \bar{q}_r ; - - - испарительной секцией \bar{q}_0'', \bar{q}_r'' ; ····· – экономайзерной секцией \bar{q}_0', \bar{q}_r'

Как видно, при $t_{cv1} = 180^\circ\text{C}$ (рис. 4, а) температура наружного воздуха, подаваемого на охлаждение электрогенератора, уменьшается в ЭХМ примерно на величину $\Delta t_b = 15^\circ\text{C}$, а температура отводимого от электрогенератора нагретого воздуха снижается от ее значения $t_{b1} = 100^\circ\text{C}$ после электрогенератора до ее величины $t_{b2} < 60^\circ\text{C}$ после экономайзерной секции генератора ЭХМ. В случае же $t_{cv1} = 250^\circ\text{C}$ (рис. 4, б) температура воздуха на входе электрогенератора уменьшается на величину $\Delta t_b = 25...45^\circ\text{C}$ (в зависимости от температуры кипения НРТ в генераторе t_r). Однако при нахождении максимального снижения Δt_b следует учитывать, что температура t_{b2} нагретого в электрогенераторе воздуха не может снижаться в экономайзерной секции генератора ЭХМ ниже значения, превышающего температуру t_k конденсации (жидкого хладона, поступающего в экономайзер из конденсатора) на величину минимального температурного напора в экономайзере – разности температур $t_{b2} - t_k = 10...15^\circ\text{C}$, устанавливаемой исходя из интенсивности теплопередачи.

Как видно, применение для охлаждения электрогенератора эжекторной холодильной

машины, использующей кроме нагретого в электрогенераторе воздуха еще и другие источники сбросной теплоты самого дизель-генератора (например надувочного воздуха), обеспечивает понижение температуры вентиляционного воздуха на входе электрогенератора на величину $\Delta t_b = 15...40^\circ\text{C}$ (в зависимости от температуры дополнительного источника сбросной теплоты).

3. Выводы

- Установлено, что применение для охлаждения электрогенераторов теплоиспользующих ЭХМ целесообразно в случае, когда в ЭХМ помимо нагретого в электрогенераторах воздуха используют дополнительные источники теплоты более высокого уровня, например надувочного воздуха дизельгенераторов и других.
- Показано, что теплоиспользующая система охлаждения электрогенератора на базе ЭХМ обеспечивает понижение температуры вентиляционного воздуха на входе электрогенератора на $15...40^\circ\text{C}$.

ЛІТЕРАТУРА

- Кузьмина Т.Г., Тесля Е.С. О повышении мощности и кпд ГТД в теплое время года // Газотурбинные технологии. – № 1. – 2008. – С. 16-18.
- Campanari S., Macchi E. Technical and tariff scenarios effect on microturbine trigenerative applications air // Proceedings of ASME TURBO EXPO 2003. – Paper GT-2003-38275. – 11 p.

3. Yokoyama R., Ito K. Effect of inlet air cooling by ice storage on unit sizing of a gas turbine cogeneration plant air // Proceedings of ASME TURBO EXPO 2002. – Paper GT-2002-30484. – 8 p.
4. Bortman J.N. Assessment of aqua-ammonia refrigeration for pre-cooling gas turbine inlet air // Proceedings of ASME TURBO EXPO 2002. – Paper GT-2002-30657. – 12 p.
5. Nixdorf M., Prelipceanu A., Hein D. Thermo-economic analysis of inlet air conditioning methods of a cogeneration gas turbine plant // Proceedings of ASME TURBO EXPO 2002. – Paper GT-2002-30561. – 10 p.
6. Захаров Ю.В. Судовые установки кондиционирования воздуха и холодильные машины. – СПб.: Судостроение, 1994. – 504 с.
7. Петренко В.А. Принцип выбора рабочего вещества для эжекторной холодильной машины // Холодильная техника и технология. – 2001. – № 1 (70). – С. 16-21.
8. Петренко В.А. Теоретическое и экспериментальное исследование эжекторной холодильной машины в режиме кондиционирования воздуха // Холодильная техника и технология. – 2001. – № 2 (71). – С. 12-18.

Надійшла до редколегії 24.03.07.